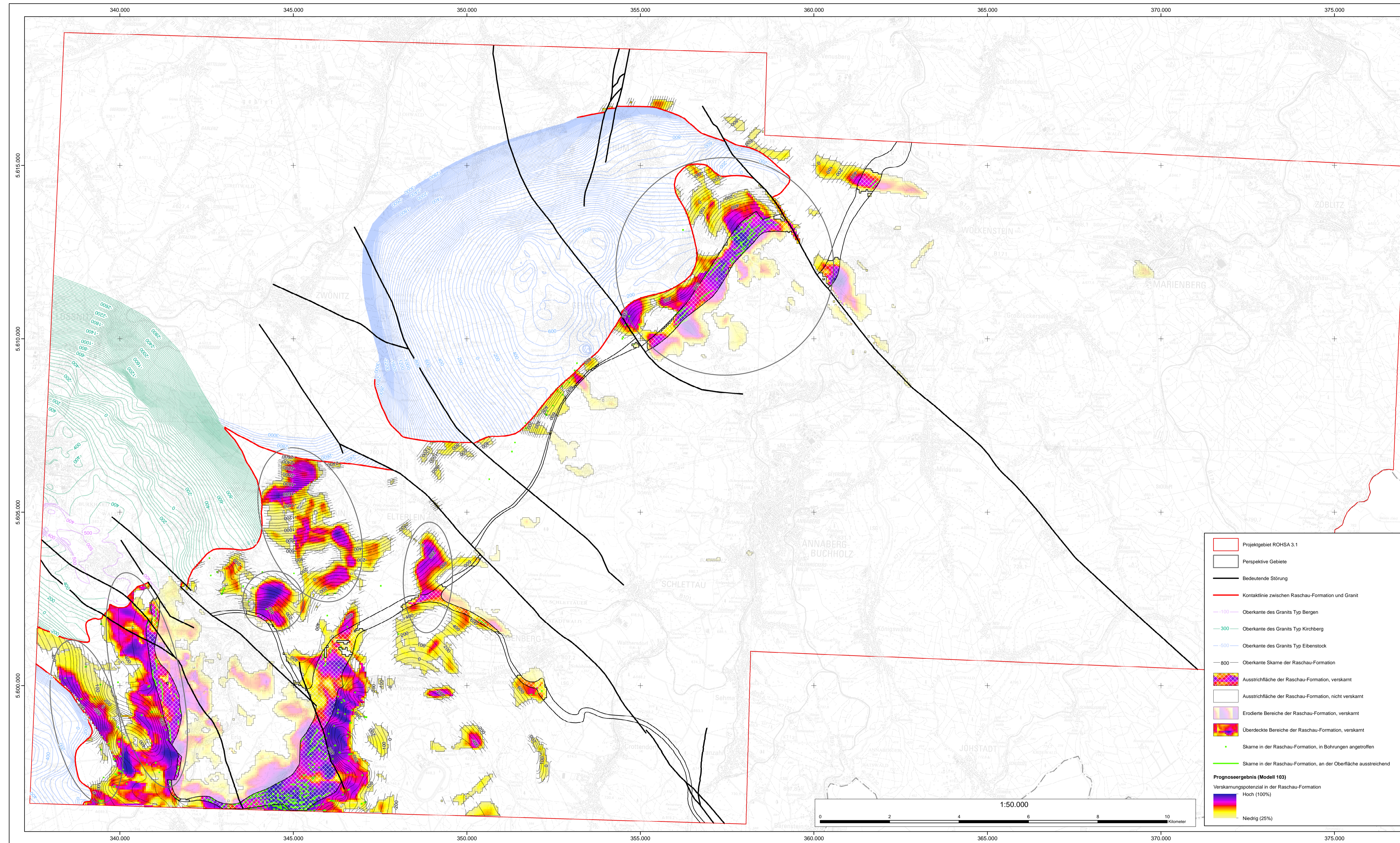


# Prognosekarte Mittleres Erzgebirge (ROHSA 3.1) Auftreten von Skarnen in der Raschau-Formation 1 : 50.000



**Modelleingangsdaten (1:600.000)**

**Modellparameter (geordnet nach Wichtigkeit)**

- Störungen - euklidischer Abstand: Sinusität - mittel
- Störungen - euklidischer Abstand: Länge - mittel
- Dif. Eifel Granitoberfläche - Eifel Skarnhorizont 0°-180°
- Störungen - euklidischer Abstand: Streichrichtung - E-W
- Störungen - euklidischer Abstand: Streichrichtung - N-S
- Störungen - euklidischer Abstand: Länge - groß
- Dif. Eifel Granitoberfläche - Eifel Skarnhorizont 0°-90°
- Störungen - euklidischer Abstand: Kreuzungspunkte
- Störungen - euklidischer Abstand: Streichrichtung - NE-SW
- Abstand Skarnhorizont - Granitoberfläche
- Störungen - euklidischer Abstand: Streichrichtung - NW-SE
- Störungen - euklidischer Abstand: Länge - kurz
- Störungen - euklidischer Abstand: Sinusität - gering
- Störungen - euklidischer Abstand: Streichrichtung - NW-SE

**Modellparameter und deren Wichtigkeit**

Modellparameter	Connection Weights	Garsen's Algorithm
1 Störungen - euklidischer Abstand Sinusität - mittel	100,000	0,20
2 Störungen - euklidischer Abstand Länge - mittel	8,329	2,58
3 Differenz Eifel Granitoberfläche - Eifel Skarnhorizont 0°-180°	5,432	2,26
4 Störungen - euklidischer Abstand Streichrichtung - E-W	2,217	2,21
5 Störungen - euklidischer Abstand Streichrichtung - N-S	603	1,94
6 Störungen - euklidischer Abstand Länge - groß	579	1,83
7 Differenz Eifel Granitoberfläche - Eifel Skarnhorizont 0°-90°	497	1,56
8 Störungen - euklidischer Abstand Kreuzungspunkte	438	1,47
9 Störungen - euklidischer Abstand Streichrichtung - NE-SW	96	1,27
10 Abstand Skarnhorizont - Granitoberfläche	640	0,75
11 Störungen - euklidischer Abstand Streichrichtung - NW-SE	293	0,41
12 Störungen - euklidischer Abstand Länge - kurz	425	0,59
13 Störungen - euklidischer Abstand Sinusität - gering	207	0,38

**Wichtige Datenquellen**

Nr.	Quelle	Jahr	Titel	Skala	Bezeichnung
1	Geologisches Institut	1988	Geologisches Institut	1:100.000	Geologisches Institut
2	Geologisches Institut	1988	Geologisches Institut	1:100.000	Geologisches Institut
3	Geologisches Institut	1988	Geologisches Institut	1:100.000	Geologisches Institut
4	Geologisches Institut	1988	Geologisches Institut	1:100.000	Geologisches Institut
5	Geologisches Institut	1988	Geologisches Institut	1:100.000	Geologisches Institut
6	Geologisches Institut	1988	Geologisches Institut	1:100.000	Geologisches Institut
7	Geologisches Institut	1988	Geologisches Institut	1:100.000	Geologisches Institut
8	Geologisches Institut	1988	Geologisches Institut	1:100.000	Geologisches Institut
9	Geologisches Institut	1988	Geologisches Institut	1:100.000	Geologisches Institut
10	Geologisches Institut	1988	Geologisches Institut	1:100.000	Geologisches Institut
11	Geologisches Institut	1988	Geologisches Institut	1:100.000	Geologisches Institut
12	Geologisches Institut	1988	Geologisches Institut	1:100.000	Geologisches Institut
13	Geologisches Institut	1988	Geologisches Institut	1:100.000	Geologisches Institut
14	Geologisches Institut	1988	Geologisches Institut	1:100.000	Geologisches Institut
15	Geologisches Institut	1988	Geologisches Institut	1:100.000	Geologisches Institut
16	Geologisches Institut	1988	Geologisches Institut	1:100.000	Geologisches Institut
17	Geologisches Institut	1988	Geologisches Institut	1:100.000	Geologisches Institut
18	Geologisches Institut	1988	Geologisches Institut	1:100.000	Geologisches Institut
19	Geologisches Institut	1988	Geologisches Institut	1:100.000	Geologisches Institut
20	Geologisches Institut	1988	Geologisches Institut	1:100.000	Geologisches Institut

**Beschreibung des prognostizierten Mineralisationsstyp**

Prognostiziert wird das Auftreten von Skarnen aller Mineralisationsstadien in Gesteinen der Raschau-Formation. Als Trainingsdaten werden Lokalisation der bekannten Skarne in der Raschau-Formation verwendet (Karte der Ausdehnung und Distributionspunkte von Bohrungen).

**Modellierungsdaten**

Die Trainingsdaten und Modellparameter sind in den Bekannten dargestellt. Das Training erfolgte über das gesamte Modellgebiet.

**Technische Beschreibung des Ergebnisses**

Die Fehlerkurve zeigt, dass ohne wesentliche Instabilitäten bereits nach 300 Iterationen ein stabiles Plateau mit einem RMSE-Wert von 0,03 zu erreicht wird.

**Geologische Interpretation**

Als wesentliche lagerstättenkontrollierende Faktoren treten mittlere und große sowie geringe Störungen mit E-W- und N-S-Streichung auf (Skizzen 1, 2, 4, 5, 8, 11). Diese werden besonders großräumig im Bereich der Marmor- und Flurten-Blöcke. Ebenfalls eine Bedeutung haben die beiden Störungen mit N-S-Streichung. Charakteristisch sind Skarnhorizonte (Skizze 10) bei diesen im relativ geringen Gestein, was technische die Bedeutung von Störungen als Fluidfalle und lagerstättenkontrollierende Faktoren

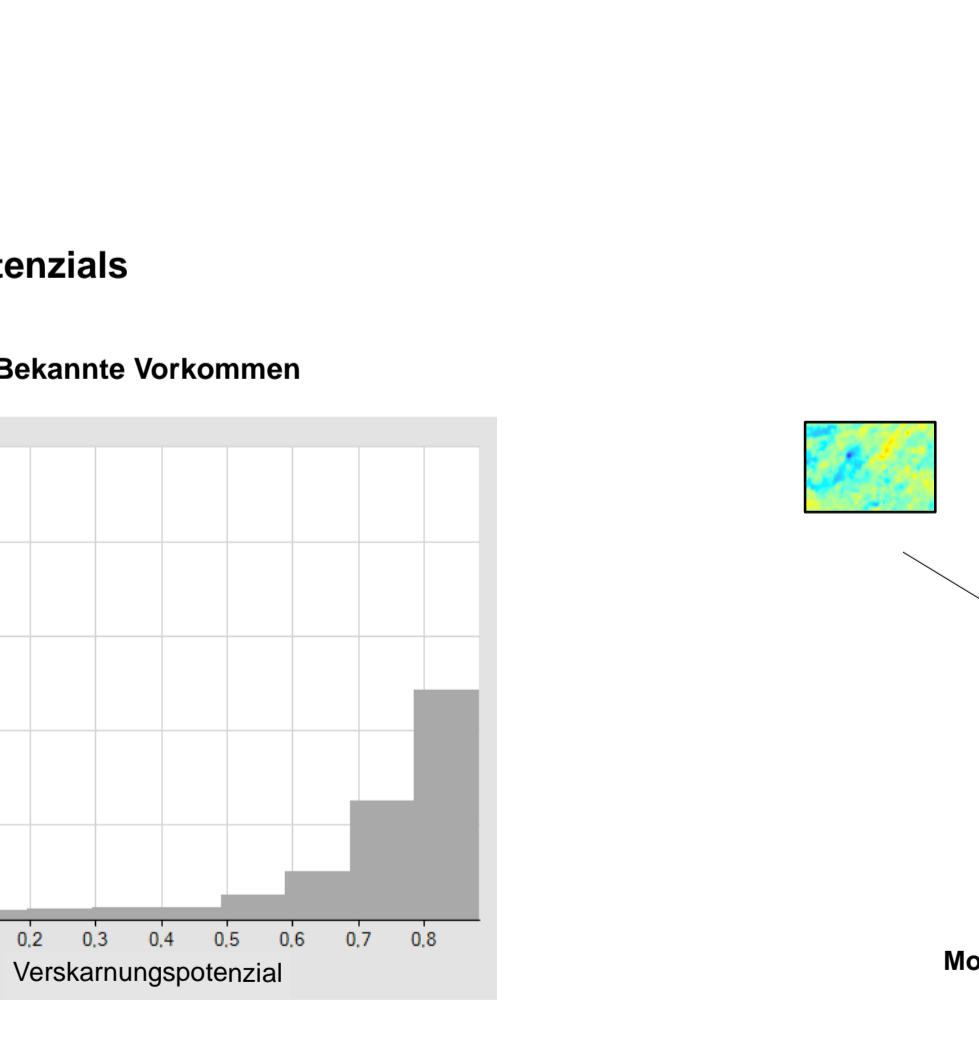
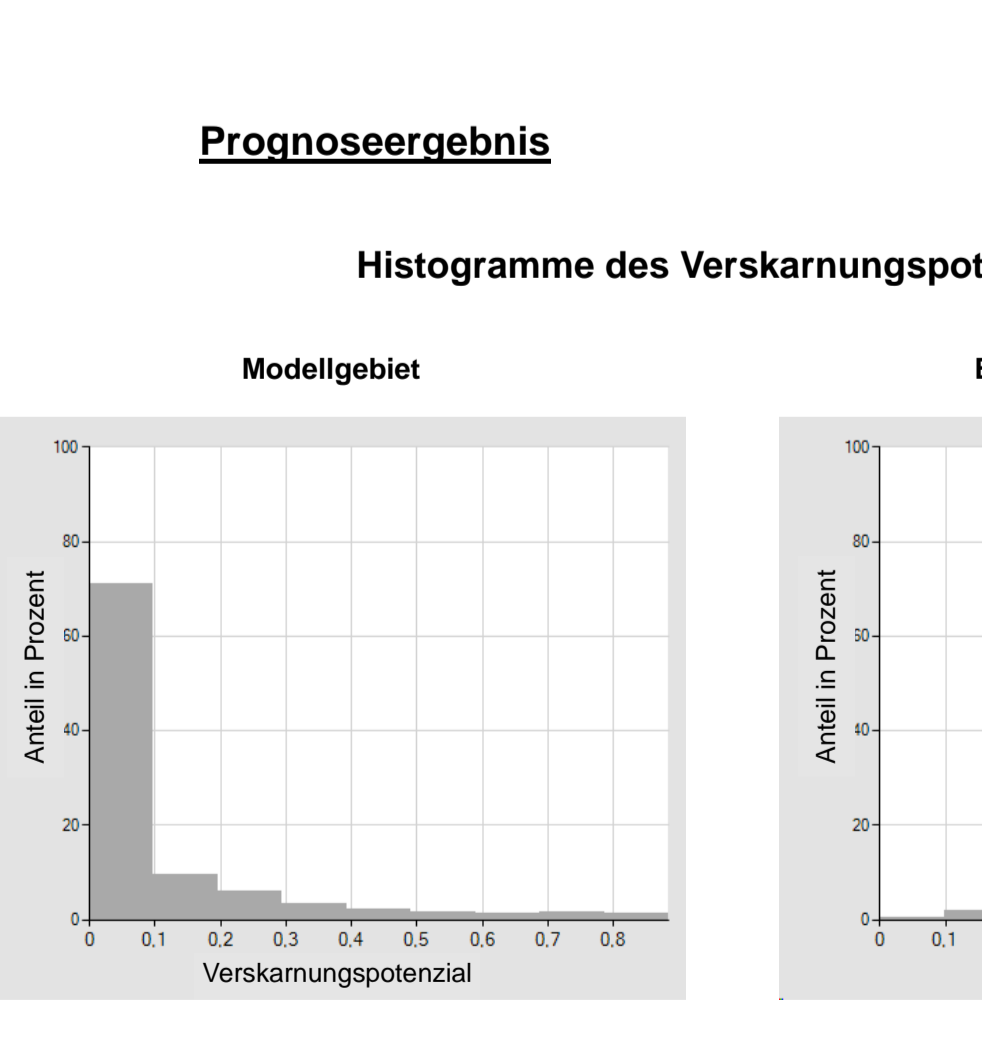
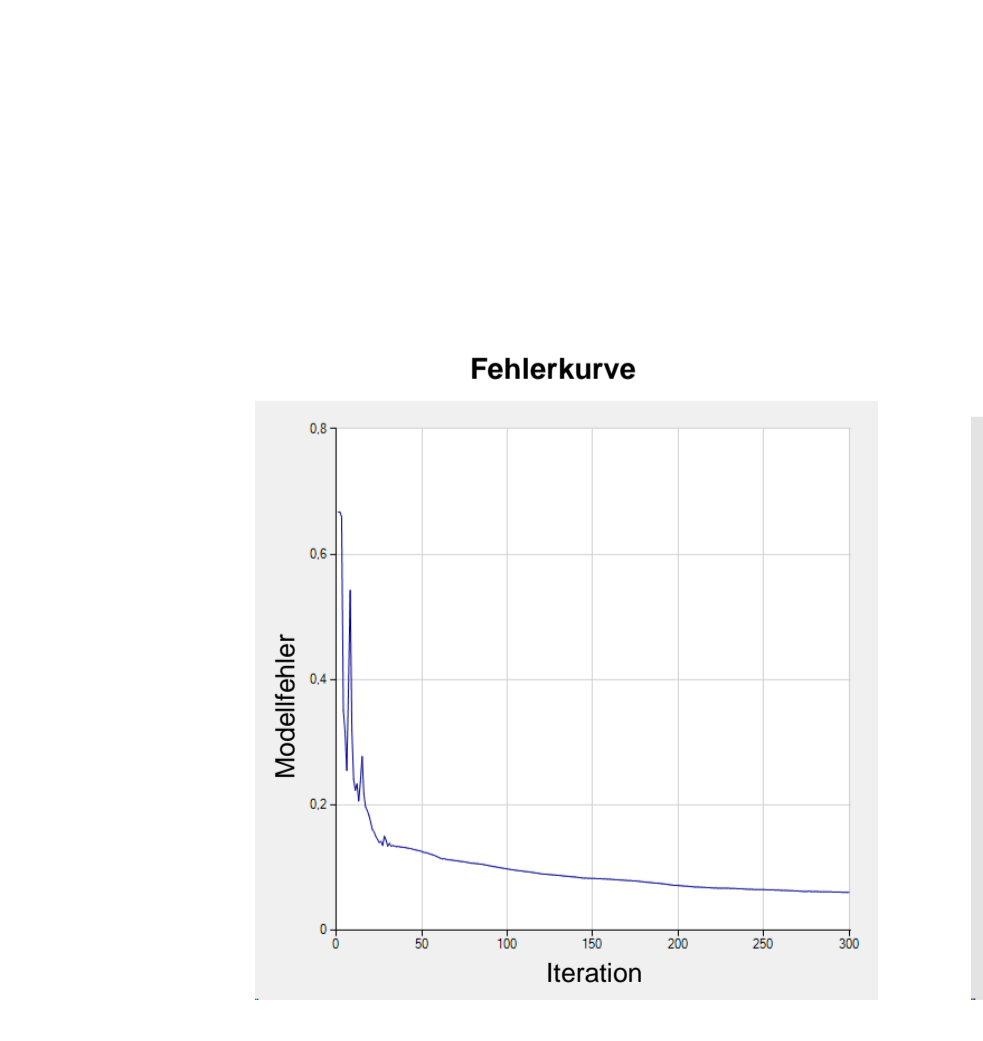
**Neuauflage** Diese Besonderheit des Skarnhorizontes Raschau-Formation ist wohl dadurch bedingt, die aufgrund der geologischen Gegebenheiten ein Großteil der prognostizierten Skarne im Bereich der Gesteinskörper-Schichten liegt. Die Skarne der anderen Horizonte liegen dagegen überwiegend an den Rändern dieser Störungszone bzw. im Bereich des Mittelgebirges.

**Perspektive Gebiete**

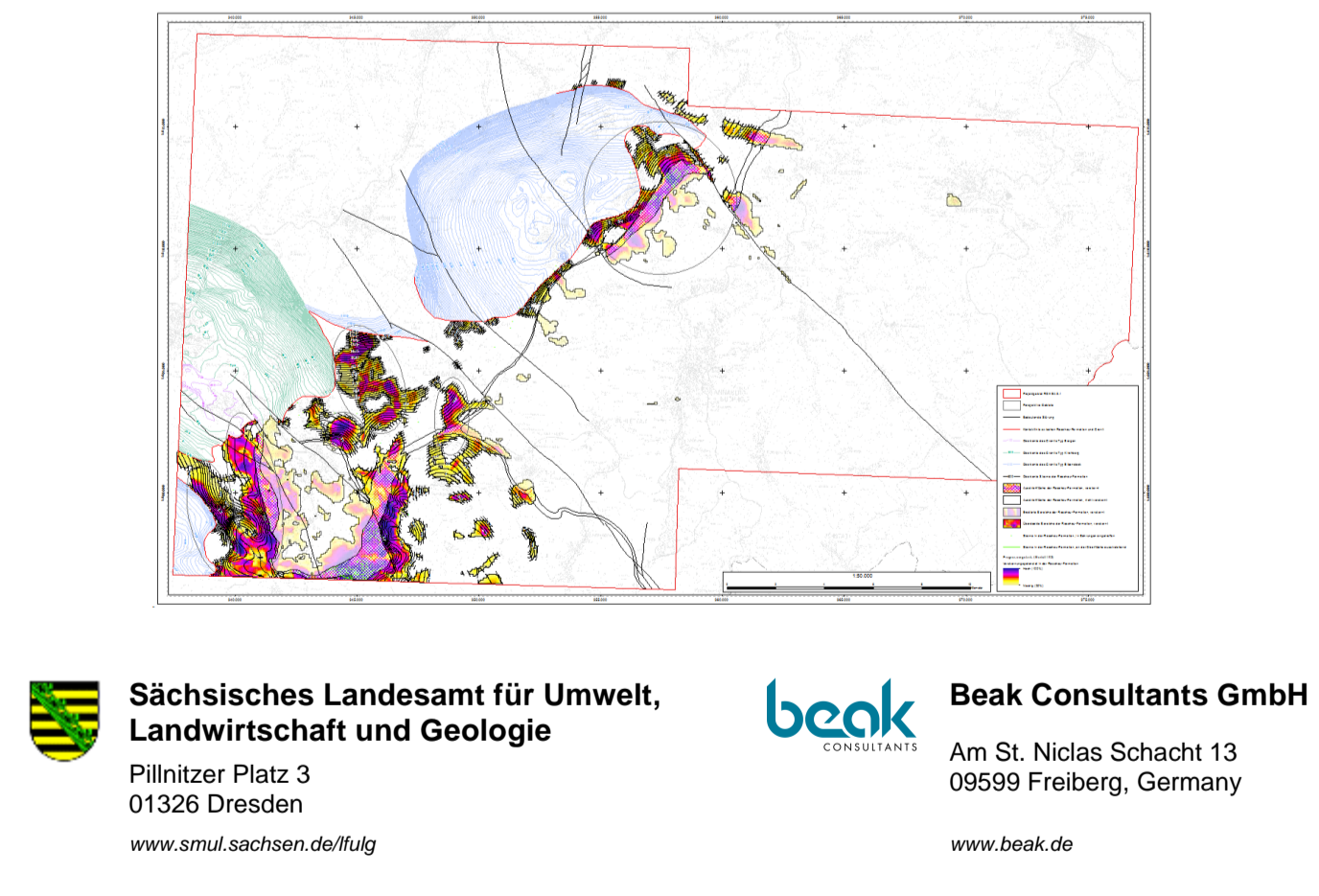
Rund um Ehrenfriedersdorf sind aufgrund des unterliegenden Granits vom Typ Eibenstock Zonalkerne zu erwarten. Hier sind Flächen mit hohen Radiumkonzentrationen zu erwarten, die aber noch bis zum Granitkontakt bei 500 m NN zu finden. Südlich von Ehrenfriedersdorf sind Zonalkerne zu erwarten, die ebenfalls Zentrifuge zu erwarten, jedoch ist die Granitoberfläche geringfügig eingestülpt (ca. 30 m).

**Wichtig** von Ehrenfriedersdorf im Kontaktbereich der Granite vom Typ Eibenstock, Kriebitzberg und Bergan ist ebenfalls ein Zon als auch eine Wärmeverzerrung möglich. Diese Gebiete sind charakteristisch durch eine große Tiefenerosion von +250 m NN bis -2600 m NN.

**Südlich** von Bergan ist aufgrund des unterliegenden Bergan-Granites eine Wärmeverzerrung zu erwarten. Die Tiefenerosion ist von der Oberfläche bis +100 m NN, Südlich bis +100 m NN, im Norden ist die Tiefenerosion von der Oberfläche bis zu +350 m NN bei Flächen Eifel, wodurch sich besonders große potentielle Fluide bilden könnten (Skizze 10).



# Prognosekarte Mittleres Erzgebirge (ROHSA 3.1) Auftreten von Skarnen in der Raschau-Formation 1 : 50.000



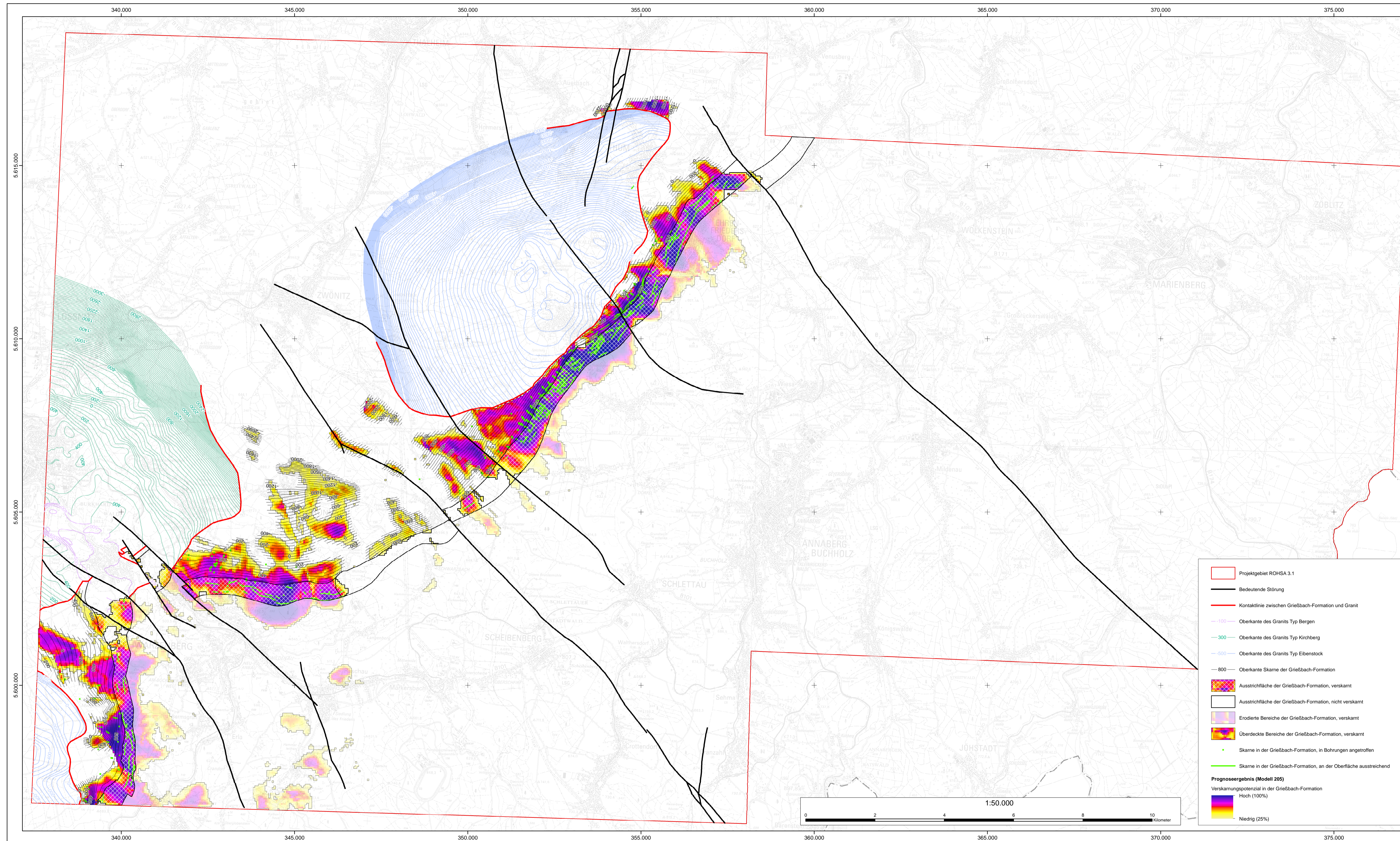
**Sächsisches Landesamt für Umwelt, Landwirtschaft und Geologie**  
Pflitzer Platz 3  
01326 Dresden  
www.umw.sachsen.de/ulfg

**Beak Consultants GmbH**  
Am St. Nicolaus Platz 13  
09099 Freiberg, Germany  
www.beak.de

**Kartographie & Layout**  
E. Ditzinger (Beak), A. Knobloch (Beak)

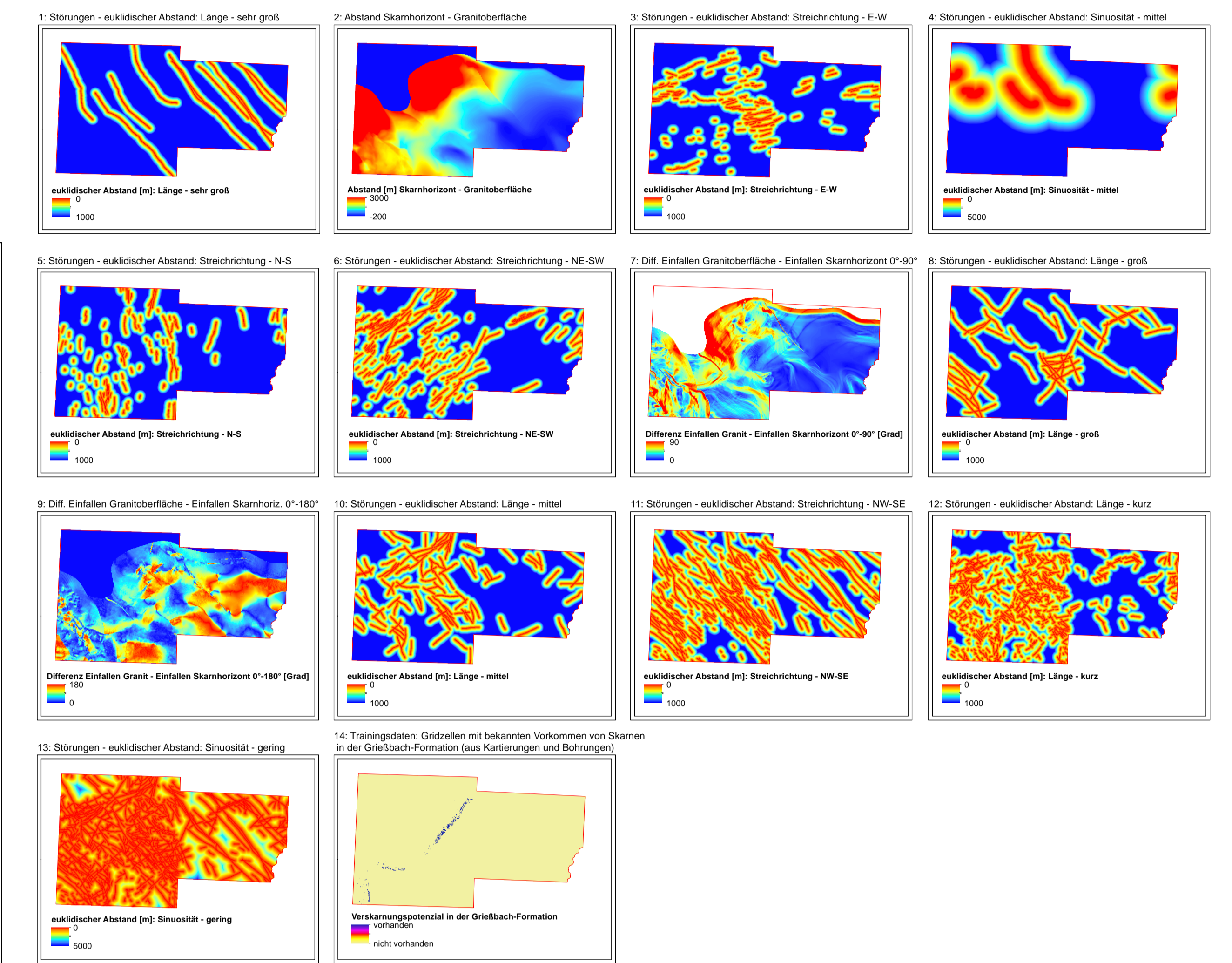
**Referenzsystem**  
Transverse Mercator  
Skizzen: GRS 1960  
Datum: D\_ETRS\_1989

# Prognosekarte Mittleres Erzgebirge (ROHSA 3.1) Auftreten von Skarnen in der Gießbach-Formation 1 : 50.000



## Modellierungsdaten (1:500.000)

### Modellparameter (geordnet nach Wichtigkeit)



### Modellparameter und deren Wichtigkeit

Modellierungsdaten	Connection Weights	Garsen's Algorithm
1. Störungen - euclidischer Abstand - Länge - sehr groß	-3,259	4,62
2. Abstand Skarnhorizont - Granitoberfläche	-17,081	3,84
3. Störungen - euclidischer Abstand - Streichrichtung - E-W	-254	2,82
4. Störungen - euclidischer Abstand - Streichrichtung - mittel	-221	2,37
5. Störungen - euclidischer Abstand - Streichrichtung - N-S	-71	2,36
6. Störungen - euclidischer Abstand - Streichrichtung - NE-SW	195	2,15
7. Differenz Einfallen Granitoberfläche - Einfallen Skarnhorizont 0°-90°	-562	1,88
8. Störungen - euclidischer Abstand - Länge - groß	-44	1,57
9. Differenz Einfallen Granitoberfläche - Einfallen Skarnhorizont 0°-180°	-308	1,44
10. Störungen - euclidischer Abstand - Länge - mittel	-32	1,41
11. Störungen - euclidischer Abstand - Streichrichtung - NW-SE	-260	1,15
12. Störungen - euclidischer Abstand - Länge - kurz	-122	0,65
13. Störungen - euclidischer Abstand - Streichrichtung - gering	-127	0,52

## Beschreibung des prognostizierten Mineralisationsstypus

Prognostiziert wird das Auftreten von Skarnen aller Mineralisationstypen in Gesteinen der Gießbach-Formation, die Transparenzen weisen. Lediglich die bekannten Skarne in der Gießbach-Formation werden (aktuelle Ausstülpungen und Durchstöße von Bohrungen).

Die Transparenzen und Modellparameter sind in den Bekannten dargestellt. Das Training erfolgte über die gesamte Modellfläche.

Die Fehlerkurve zeigt, dass eine wesentliche Instabilität nach 300 Iterationen ein stabiles Plateau mit einem MSE-Wert von 4,27 erreicht wird. Die Histogramme des Verskarnungspotenzials weisen ebenfalls eine sehr gute Anpassung des Modells an die Beobachtungen nach. Das Maximum ist bei einem Verskarnungspotenzial von <math>0,1</math> während das Maximum im Umfeld der Bekannten Vorkommen bei einem Verskarnungspotenzial von ca. 0,95 liegt.

Die Rauschparameter zeigen eine hohe Korrelation zwischen den Bekannten Vorkommen mit hohem Potenzial, welches die Transparenzen fast immer vollständig einschließt. Die folgenden Modellparameter wurden als wesentliche leistungssteigernde Faktoren ermittelt:

- Störungen - euclidischer Abstand - Länge - sehr groß,
- Abstand Skarnhorizont - Granitoberfläche,
- Störungen - euclidischer Abstand - Streichrichtung - E-W,
- Störungen - euclidischer Abstand - Streichrichtung - mittel,
- Störungen - euclidischer Abstand - Streichrichtung - N-S,
- Störungen - euclidischer Abstand - Streichrichtung - NE-SW.

**Geologische Interpretation**  
Als wesentliche leistungssteigernde Faktoren haben sich sehr große sowie geringere Störungen mit E-W- und NE-SW-Streichung herausgestellt. Dies deutet auf eine bevorzugte Orientierung der Störungen hin. Die vorkommende Skarne in der Gießbach-Formation sind als Plagioklasen- und Nephelin-Skarnen zu klassifizieren. Die Skarne in der Gießbach-Formation sind als Plagioklasen- und Nephelin-Skarnen zu klassifizieren. Die Skarne in der Gießbach-Formation sind als Plagioklasen- und Nephelin-Skarnen zu klassifizieren.

## Beschreibung des prognostizierten Mineralisationsstypus

Prognostiziert wird das Auftreten von Skarnen aller Mineralisationstypen in Gesteinen der Gießbach-Formation, die Transparenzen weisen. Lediglich die bekannten Skarne in der Gießbach-Formation werden (aktuelle Ausstülpungen und Durchstöße von Bohrungen).

Die Transparenzen und Modellparameter sind in den Bekannten dargestellt. Das Training erfolgte über die gesamte Modellfläche.

Die Fehlerkurve zeigt, dass eine wesentliche Instabilität nach 300 Iterationen ein stabiles Plateau mit einem MSE-Wert von 4,27 erreicht wird. Die Histogramme des Verskarnungspotenzials weisen ebenfalls eine sehr gute Anpassung des Modells an die Beobachtungen nach. Das Maximum ist bei einem Verskarnungspotenzial von <math>0,1</math> während das Maximum im Umfeld der Bekannten Vorkommen bei einem Verskarnungspotenzial von ca. 0,95 liegt.

Die Rauschparameter zeigen eine hohe Korrelation zwischen den Bekannten Vorkommen mit hohem Potenzial, welches die Transparenzen fast immer vollständig einschließt. Die folgenden Modellparameter wurden als wesentliche leistungssteigernde Faktoren ermittelt:

- Störungen - euclidischer Abstand - Länge - sehr groß,
- Abstand Skarnhorizont - Granitoberfläche,
- Störungen - euclidischer Abstand - Streichrichtung - E-W,
- Störungen - euclidischer Abstand - Streichrichtung - mittel,
- Störungen - euclidischer Abstand - Streichrichtung - N-S,
- Störungen - euclidischer Abstand - Streichrichtung - NE-SW.

**Geologische Interpretation**  
Als wesentliche leistungssteigernde Faktoren haben sich sehr große sowie geringere Störungen mit E-W- und NE-SW-Streichung herausgestellt. Dies deutet auf eine bevorzugte Orientierung der Störungen hin. Die vorkommende Skarne in der Gießbach-Formation sind als Plagioklasen- und Nephelin-Skarnen zu klassifizieren. Die Skarne in der Gießbach-Formation sind als Plagioklasen- und Nephelin-Skarnen zu klassifizieren. Die Skarne in der Gießbach-Formation sind als Plagioklasen- und Nephelin-Skarnen zu klassifizieren.

## Beschreibung des prognostizierten Mineralisationsstypus

Prognostiziert wird das Auftreten von Skarnen aller Mineralisationstypen in Gesteinen der Gießbach-Formation, die Transparenzen weisen. Lediglich die bekannten Skarne in der Gießbach-Formation werden (aktuelle Ausstülpungen und Durchstöße von Bohrungen).

Die Transparenzen und Modellparameter sind in den Bekannten dargestellt. Das Training erfolgte über die gesamte Modellfläche.

Die Fehlerkurve zeigt, dass eine wesentliche Instabilität nach 300 Iterationen ein stabiles Plateau mit einem MSE-Wert von 4,27 erreicht wird. Die Histogramme des Verskarnungspotenzials weisen ebenfalls eine sehr gute Anpassung des Modells an die Beobachtungen nach. Das Maximum ist bei einem Verskarnungspotenzial von <math>0,1</math> während das Maximum im Umfeld der Bekannten Vorkommen bei einem Verskarnungspotenzial von ca. 0,95 liegt.

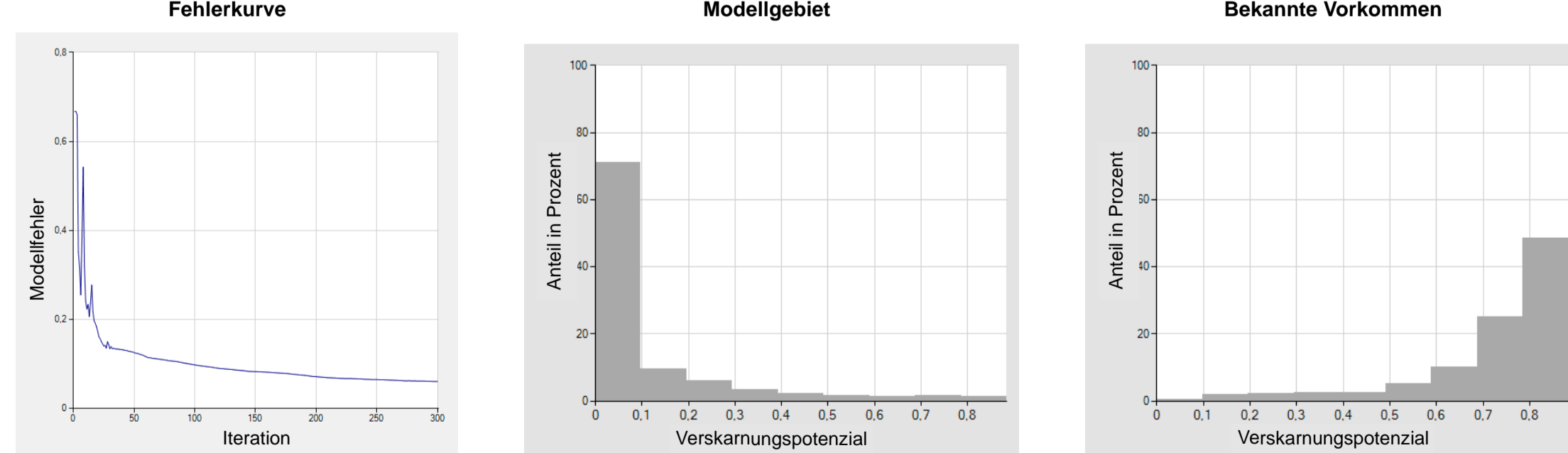
Die Rauschparameter zeigen eine hohe Korrelation zwischen den Bekannten Vorkommen mit hohem Potenzial, welches die Transparenzen fast immer vollständig einschließt. Die folgenden Modellparameter wurden als wesentliche leistungssteigernde Faktoren ermittelt:

- Störungen - euclidischer Abstand - Länge - sehr groß,
- Abstand Skarnhorizont - Granitoberfläche,
- Störungen - euclidischer Abstand - Streichrichtung - E-W,
- Störungen - euclidischer Abstand - Streichrichtung - mittel,
- Störungen - euclidischer Abstand - Streichrichtung - N-S,
- Störungen - euclidischer Abstand - Streichrichtung - NE-SW.

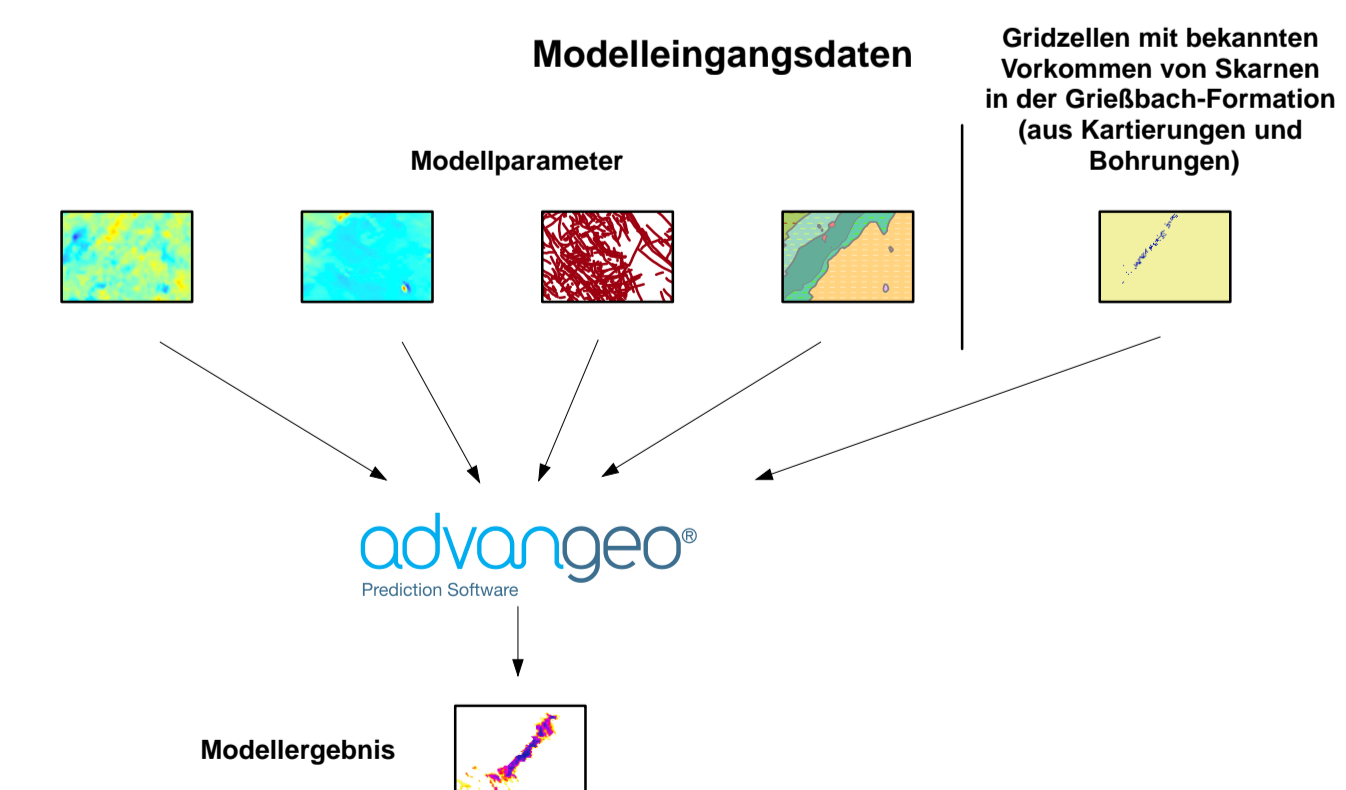
**Geologische Interpretation**  
Als wesentliche leistungssteigernde Faktoren haben sich sehr große sowie geringere Störungen mit E-W- und NE-SW-Streichung herausgestellt. Dies deutet auf eine bevorzugte Orientierung der Störungen hin. Die vorkommende Skarne in der Gießbach-Formation sind als Plagioklasen- und Nephelin-Skarnen zu klassifizieren. Die Skarne in der Gießbach-Formation sind als Plagioklasen- und Nephelin-Skarnen zu klassifizieren. Die Skarne in der Gießbach-Formation sind als Plagioklasen- und Nephelin-Skarnen zu klassifizieren.

## Prognoseergebnis

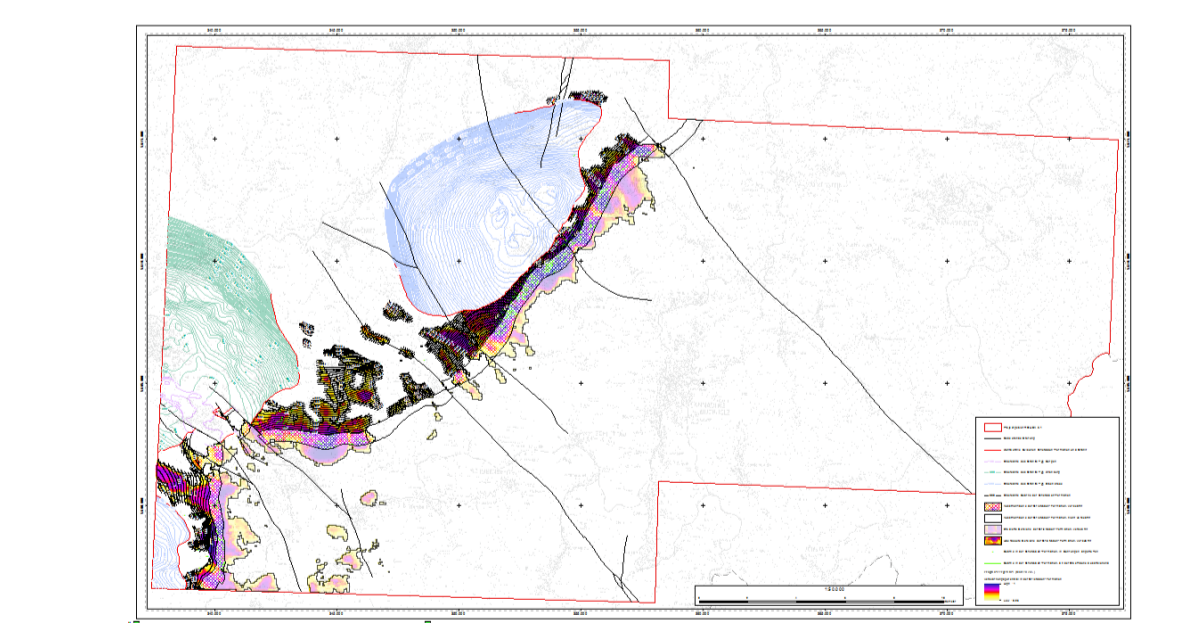
### Histogramme des Verskarnungspotenzials



## Datenverarbeitungsschema



# Prognosekarte Mittleres Erzgebirge (ROHSA 3.1) Auftreten von Skarnen in der Gießbach-Formation 1 : 50.000

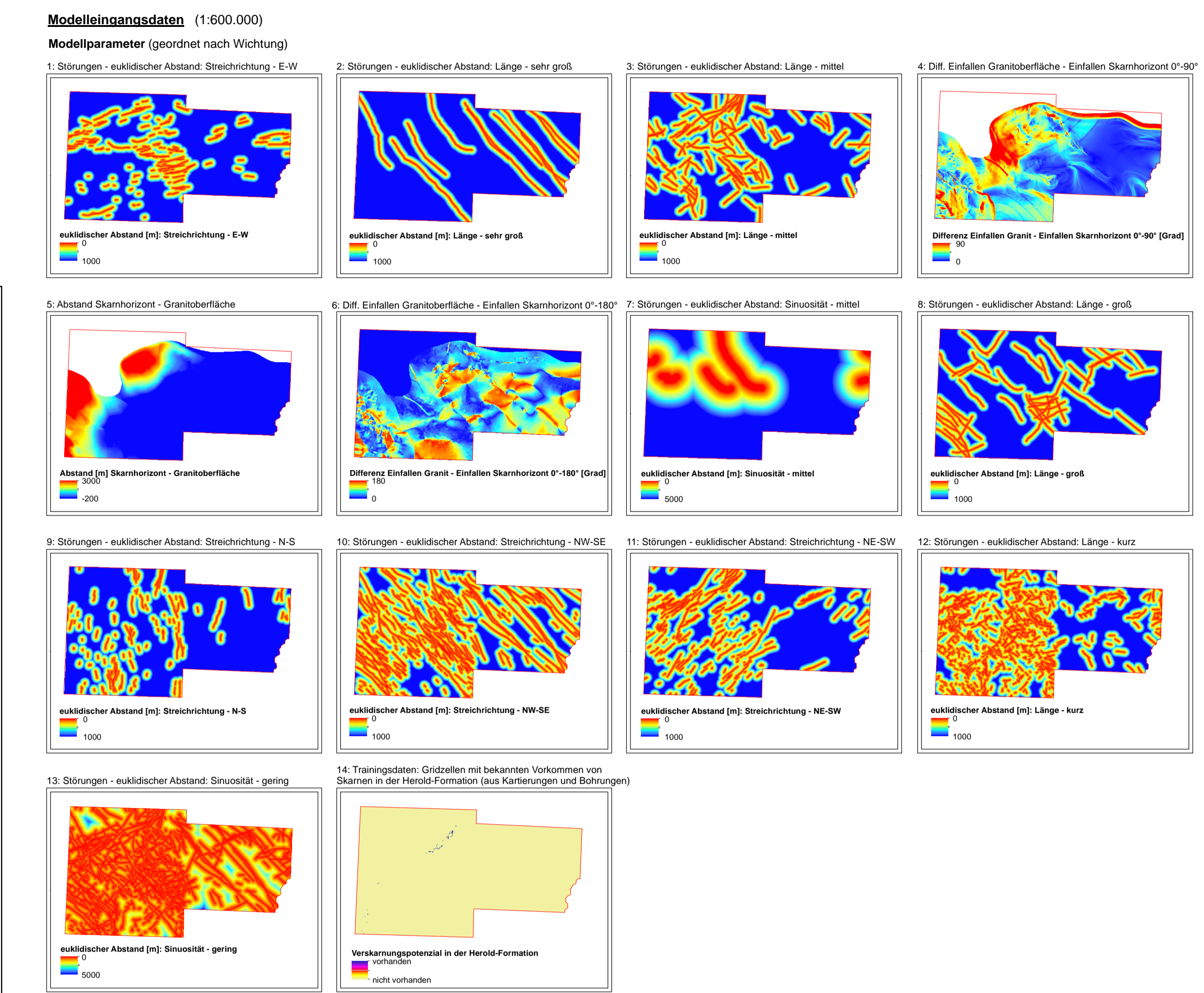
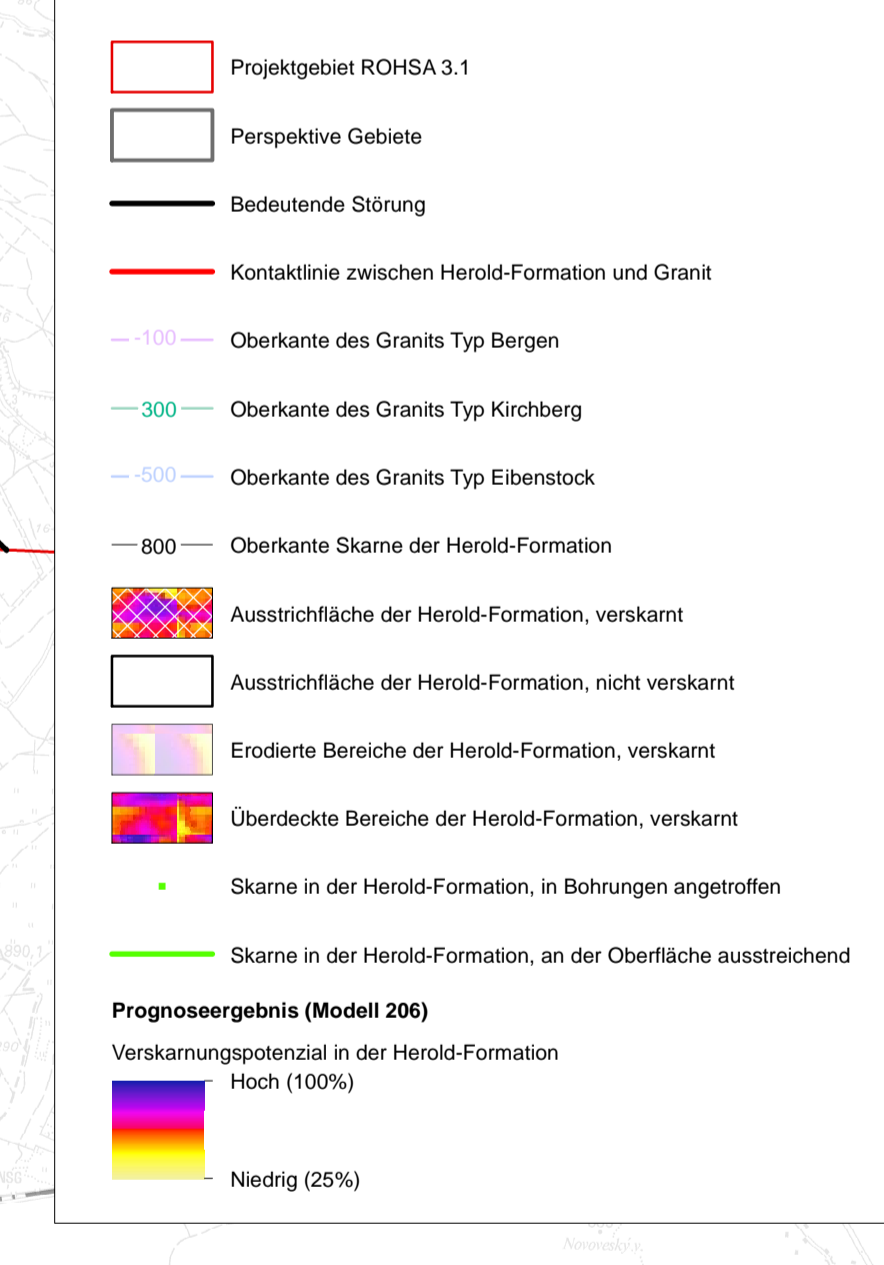
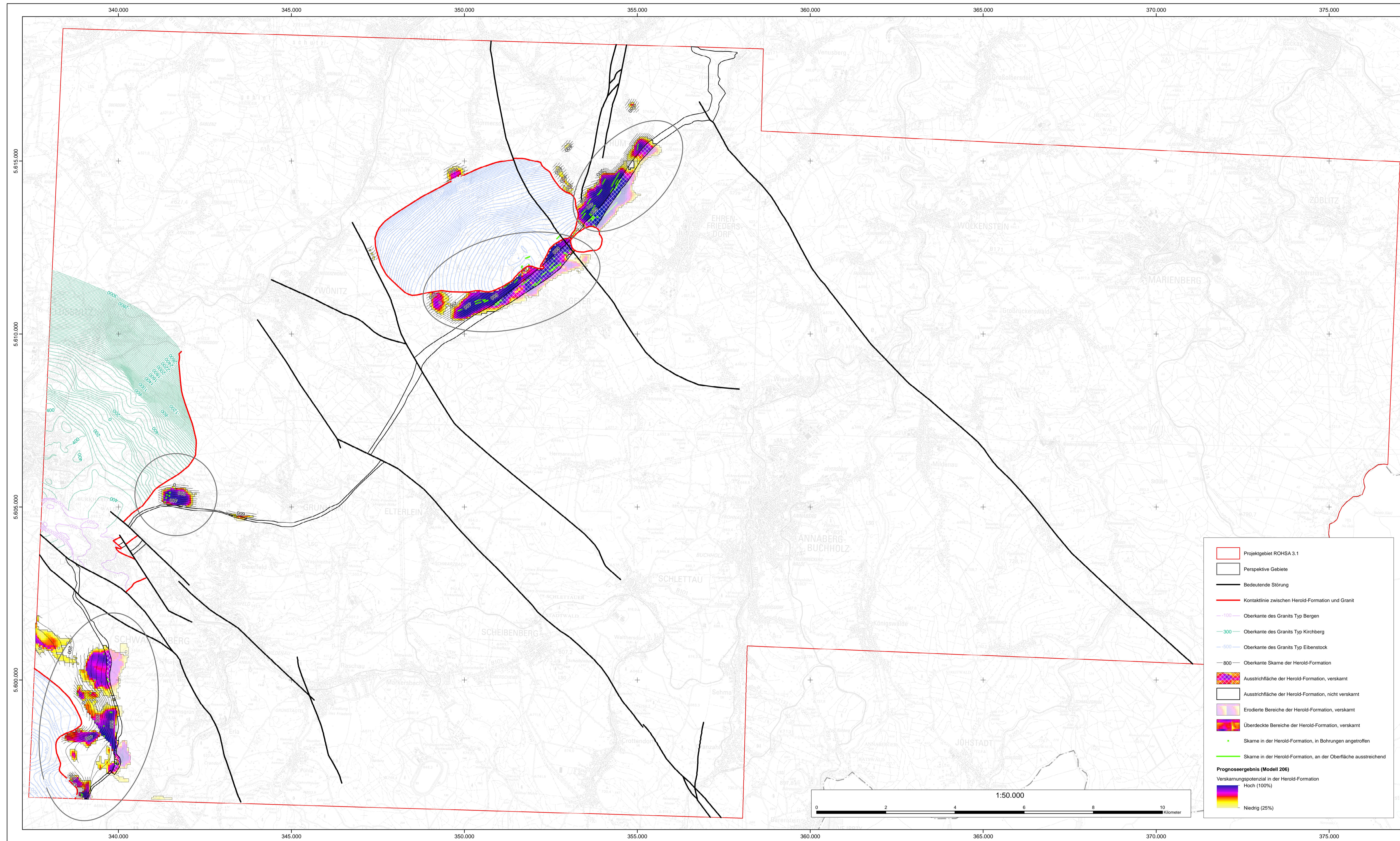


Sächsisches Landesamt für Umwelt, Landwirtschaft und Geologie  
Pflanzler Platz 3  
01326 Dresden  
www.umw.sachsen.de/ulg

Beak Consultants GmbH  
Am St. Nicolas Schacht 13  
09099 Freiberg, Germany  
www.beak.de

Inhaltliche Bearbeitung: Dr. A. Barth (Beak), A. Brogg (Beak), E. Dickmeyer (Beak), E. Kallmeyer (Beak), A. Knobloch (Beak), Dr. C. Leger (Beak)  
Topographie: Raststätten TK50 10344, 6342, 0544, 0542  
Kartographie & Layout: E. Dickmeyer (Beak), A. Knobloch (Beak)  
Kartographie System: Transformatoren  
Referenz System: Schmetz 045, 1990 Datum: D\_ETRS\_1990

# Prognosekarte Mittleres Erzgebirge (ROHSA 3.1) Auftreten von Skarnen in der Herold-Formation 1 : 50.000



Modellparameter	Connection Weights	Garrison's Algorithm
1 Störungen - euklidischer Abstand Streichrichtung - E-W	4,074	4,29
2 Störungen - euklidischer Abstand Länge - sehr groß	4,075	3,52
3 Störungen - euklidischer Abstand Länge - mittel	85	2,73
4 Differenz Einfallen Granitoberfläche - Einfallen Skarnhorizont 0°-90°	96	2,64
5 Abstand Skarnhorizont - Granitoberfläche	87	2,44
6 Differenz Einfallen Granitoberfläche - Einfallen Skarnhorizont 0°-180°	58	2,35
7 Störungen - euklidischer Abstand Sinusität - mittel	140	1,96
8 Störungen - euklidischer Abstand Länge - groß	58	1,77
9 Störungen - euklidischer Abstand Streichrichtung - N-S	126	1,75
10 Störungen - euklidischer Abstand Streichrichtung - NW-SE	126	1,41
11 Störungen - euklidischer Abstand Streichrichtung - NE-SW	29	1,17
12 Störungen - euklidischer Abstand Länge - kurz	108	0,76
13 Störungen - euklidischer Abstand Sinusität - gering	16	0,79

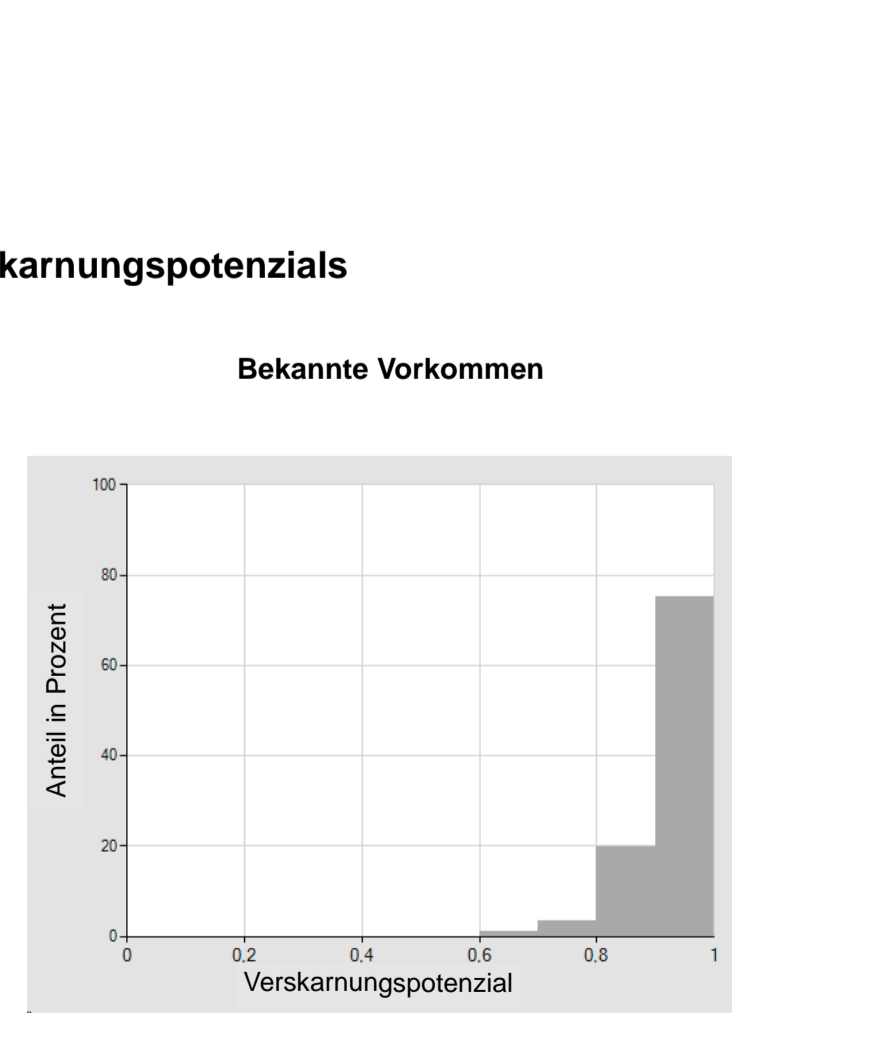
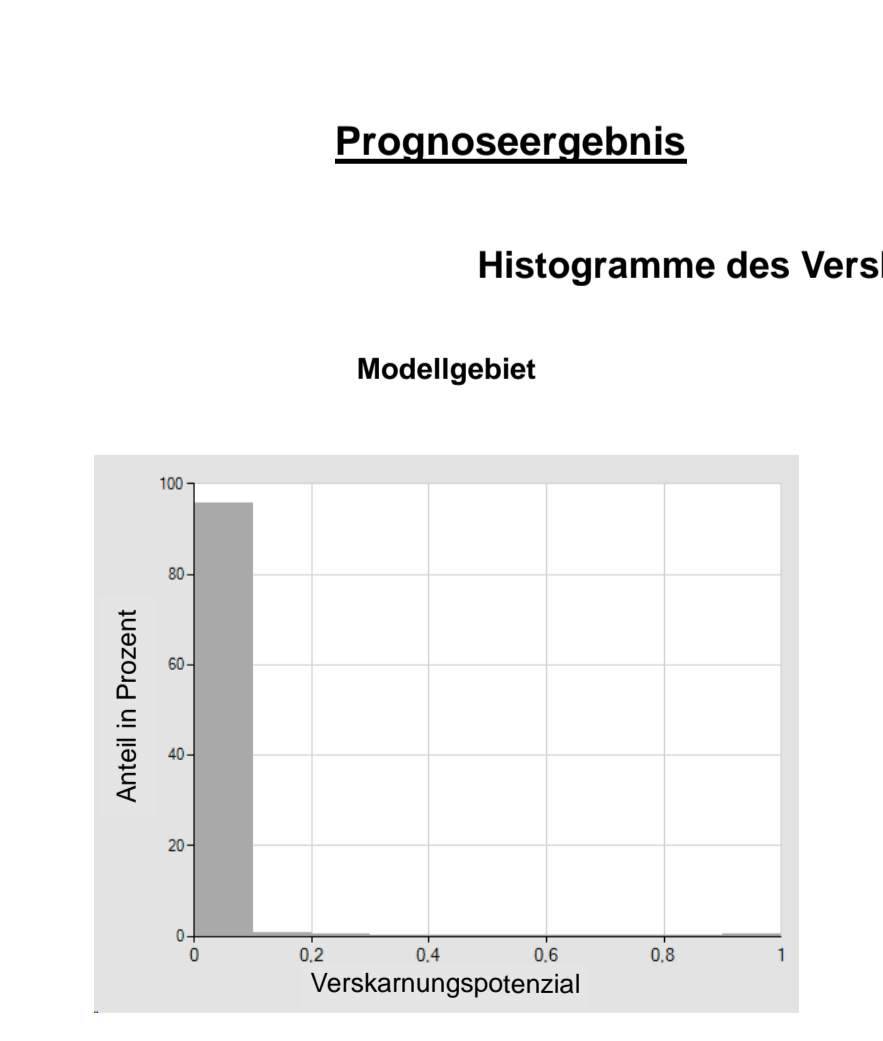
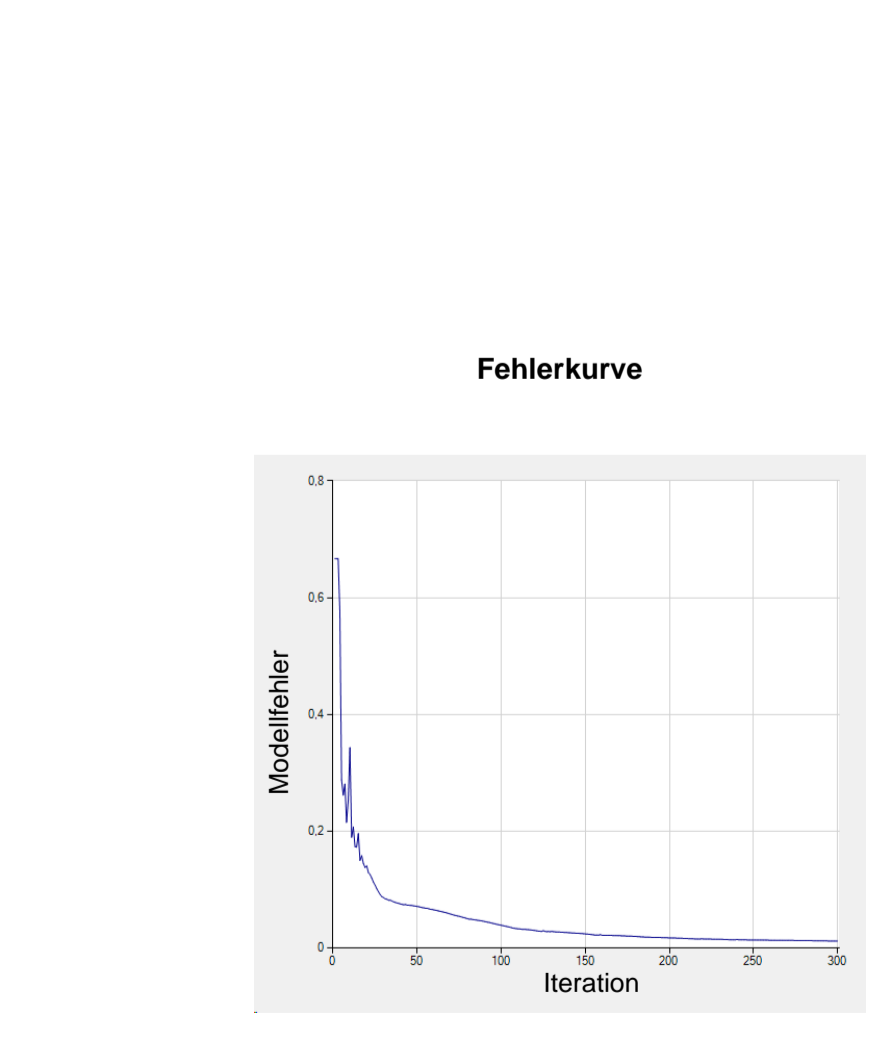
**Beschreibung des prognostizierten Mineralisationspotenzials**  
Prognostiziert wird das Auftreten von Skarnen aller Mineralisationsstadien in Gesteinen der Herold-Formation. Als Transparenz werden Lokalisationen der bekannten Skarne in der Herold-Formation (Kontaktzone Ausläufer und Durchstöße) und (Skarne in Gesteinshorizonten) dargestellt.

**Modellierungsgang**  
Die Trainingsdaten und Modellparameter sind in den Tabellen dargestellt. Das Training erfolgte über das gesamte Modellgebiet.

**Technische Beschreibung des Ergebnisses**  
Die Fehlerkurve zeigt, dass eine wesentliche Stabilisierung nach 300 Iterationen ein stabiles Ergebnis mit einer RMSE-Fehler von 1,30 % erreicht wird. Die Histogramme des Verskarnungspotenzials weisen ebenfalls eine sehr gute Abbildung des Istzustandes in der Modellparameter nach. Das Maximum für den Verskarnungspotenzial liegt bei einem Wert von 0,1, während das Maximum im Umfeld der bekannten Vorkommen bei einem Wert von 1 liegt. Die Korrelationsmatrix zeigt eine klare Korrelation zwischen den Faktoren und dem Verskarnungspotenzial. Die Korrelationsmatrix zeigt eine klare Korrelation zwischen den Faktoren und dem Verskarnungspotenzial.

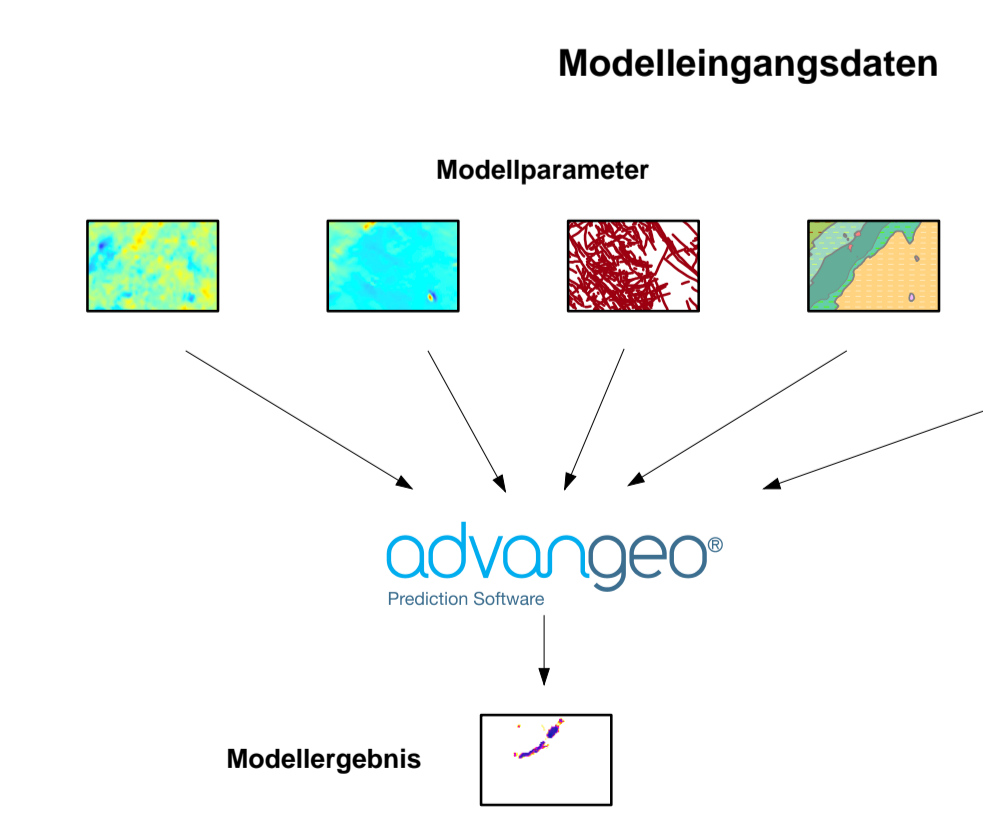
**Phasen** In diesem geographisch höchsten Skarnhorizont ist das Ausbreitungsstadium vergleichsweise gering. An den Flanken der Granitkörper von Annaberg und Schleifenberg erreicht die Herold-Formation sehr hohe Abstände vom Granit, so dass die Skarnebildung auf ein relativ schmales Band begrenzt war. So haben sich auf der Süd- und Ostseite der Schwarzenberger Granitkörper Skarne in diesem Horizont gebildet. Die Geyer und Ehrenfriedersdorf ist das Ausbreitungsstadium nicht hoch, allerdings hat bei Geyer die Herold-Formation in geringer Tiefe gegen den Granit aus, wodurch kein großes erzhaltendes Volumen zu erwarten ist.

**Perspektive Gebiete**  
Bei Geyer und Ehrenfriedersdorf sind Zinnerzungen zu erwarten. Dieses perspektive Gebiete wird durch den Ausbruch des Granitkörpers zugeordnet. Im Nordost reicht die Oberkante der prognostizierten Skarne bis in 400 m NN, bei Jahnsberg bis in 400 bis 100 m NN. Im Südost ist die Tiefenerosion durch die Granitkörper auf Werte um 400 m NN begrenzt. Im Südwesten liegt das prognostizierte Volumen von Granit bis in eine Tiefe von +200 m NN, mit möglichen Ausläufern bis 200 m NN. Der Bereich erreicht sich ein kleines perspektive Gebiete mit potentieller Vorkommen von Kupfer, unter der Oberfläche bis +100 m NN. Im Gebiet von Annaberg und Schleifenberg sind südliche Ausläufer bis +100 m NN. Im Gebiet von Annaberg und Schleifenberg sind südliche Ausläufer bis +100 m NN. Im Gebiet von Annaberg und Schleifenberg sind südliche Ausläufer bis +100 m NN.



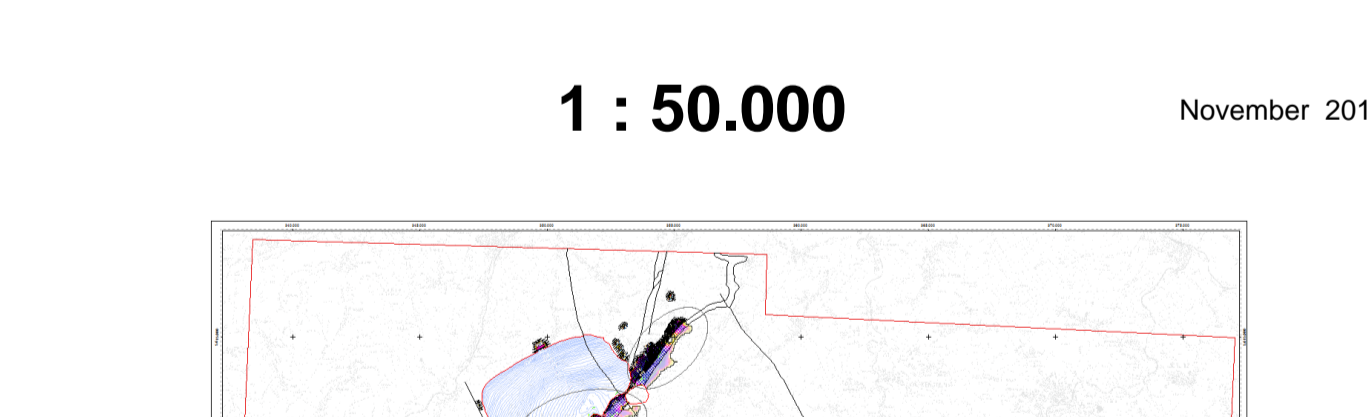
### Prognoseergebnis

### Datenverarbeitungsschema



Quelle	Titel	Verfasser	Wahrscheinlichkeit
Beck	Prognosekarte Mittleres Erzgebirge (ROHSA 3.1)	A. Barth, A. Brögg, E. Dickert, E. Kallert, A. Knobloch, D. C. Leiger	100%
Geological Survey of Germany	Geological Survey of Germany	A. Barth, A. Brögg, E. Dickert, E. Kallert, A. Knobloch, D. C. Leiger	100%
Geological Survey of Germany	Geological Survey of Germany	A. Barth, A. Brögg, E. Dickert, E. Kallert, A. Knobloch, D. C. Leiger	100%
Geological Survey of Germany	Geological Survey of Germany	A. Barth, A. Brögg, E. Dickert, E. Kallert, A. Knobloch, D. C. Leiger	100%

## Prognosekarte Mittleres Erzgebirge (ROHSA 3.1) Auftreten von Skarnen in der Herold-Formation 1 : 50.000



Sächsisches Landesamt für Umwelt, Landwirtschaft und Geologie  
Landwitzer Platz 3  
01326 Dresden  
www.smlw.sachsen.de/rlg

Beck Consultants GmbH  
Am St. Nicolaus 13  
09599 Freiberg, Germany  
www.beck.de

Inhaltliche Bearbeitung: Dr. A. Barth (Beck), A. Brögg (Beck), E. Dickert (Beck), E. Kallert (Beck), A. Knobloch (Beck), Dr. C. Leiger (Beck)  
Topographie: Rasterdaten: 7500, 15344, 15344, 15344  
Kartographie & Layout: E. Dickert (Beck), A. Knobloch (Beck)  
Referenz System: Transverse meridian, Schrägcut, 1980 Datum: D, ETRS, 1989

Anlage 13

November 2016